

## Evaluasi Saluran Drainase di Jalan Gaharu Kota Binjai Menggunakan Aplikasi EPA SWMM

Fauzan Azhari<sup>1,\*</sup>, Rizky Franchitika<sup>1</sup>, Kartika Indah Sari<sup>1</sup>

<sup>1</sup>Program Studi Teknik Sipil, Fakultas Teknik dan Komputer, Universitas Harapan Medan, Medan, Indonesia 20217

\*penulis koresponden: fauzanazhari17@gmail.com

### Abstrak

Genangan air saat hujan di Jalan Gaharu, Kota Binjai, sering memenuhi badan jalan dan memasuki rumah warga, sehingga mengganggu kenyamanan pengendara, mempengaruhi lalu lintas, merusak badan jalan, dan menyebabkan kerugian material. Jalan ini juga merupakan akses utama menuju Sekolah Tinggi Keguruan dan Ilmu Pendidikan (STKIP) Budidaya Binjai, yang sering mengalami genangan di beberapa titik ruasnya. Penelitian ini dilakukan untuk menganalisis sistem drainase jalan tersebut, dengan tujuan mengidentifikasi debit banjir rencana dan waktu konsentrasi pada daerah tangkapan air serta memberikan solusi terhadap masalah genangan. Model *Environmental Protection Agency Storm Water Management Model* (EPA SWMM) digunakan untuk memodelkan limpasan air hujan di daerah perkotaan berdasarkan parameter kondisi aktual. Metode yang diterapkan meliputi distribusi Normal, Log Normal, Gumbel, dan Log Pearson Tipe III, serta uji kecocokan Chi Kuadrat. Hasil menunjukkan bahwa debit puncak banjir rencana mencapai  $3,53 \text{ m}^3/\text{detik}$  untuk periode ulang 5 tahun dan  $4,14 \text{ m}^3/\text{detik}$  untuk periode ulang 10 tahun, dengan waktu konsentrasi daerah tangkapan air sebesar 6,9 menit atau 0,083 jam. Analisis kapasitas saluran eksisting terhadap debit banjir rencana menunjukkan bahwa beberapa segmen tidak mampu menampung debit tersebut. Oleh karena itu, diperlukan perencanaan ulang dan perawatan berkala pada sistem drainase untuk mengoptimalkan fungsinya.

**Kata Kunci:** Drainase, Genangan, Log Pearson Tipe III.

### Abstract

*Water pooling during rainfall on Gaharu Street, Binjai City, frequently floods the roadway and enters residents' homes, causing inconvenience for drivers, disrupting traffic, damaging the road surface, and resulting in material losses. This road is also the main access route to the School of Teacher Training and Education (STKIP) Budidaya Binjai, which often experiences flooding at several points along its stretch. This study was conducted to analyze the drainage system of the road, aiming to identify the planned flood discharge and the concentration time in the catchment area, as well as to provide solutions to the flooding problem. The EPA SWMM (Environmental Protection Agency Storm Water Management Model) was used to model stormwater runoff in urban areas based on actual condition parameters. The methods applied include Normal distribution, Log Normal distribution, Gumbel distribution, and Log Pearson Type III distribution, along with the Chi-Square goodness-of-fit test. The results show that the peak flood discharge reaches  $3.53 \text{ m}^3/\text{s}$  for a 5-year return period and  $4.14 \text{ m}^3/\text{s}$  for a 10-year return period, with a catchment area concentration time of 6.9 minutes or 0.083 hours. The analysis of the existing drainage channel capacity compared to the planned flood discharge indicates that several segments cannot accommodate the planned discharge. Therefore, redesigning and regular maintenance of the drainage system are necessary to optimize its functionality.*

**Keywords:** Drainage, Puddles, Log Pearson Type III.

## 1. Pendahuluan

Kota Binjai adalah kota madya yang menjadi penghubung ibu kota provinsi di Sumatera Utara. Saat ini, kota ini mengalami perkembangan pesat dalam populasi penduduk, ekonomi, serta infrastruktur yang terus meningkat setiap tahun (Sidabutar & Indera 2021). Ketika musim hujan tiba, beberapa daerah di Kota Binjai mengalami banjir dan genangan. Banjir menjadi hal yang tidak asing bagi masyarakat Indonesia, khususnya saat memasuki musim hujan hampir seluruh kota di Indonesia mengalaminya (Rifky & Anugrah, 2020; Silaban & Nusa, 2023), termasuk Kota Binjai. Salah satu daerah yang sering terdampak adalah Jalan Gaharu Binjai, yang merupakan kawasan padat penduduk, tempat usaha, serta lokasi salah satu kampus terbesar di Binjai, yaitu Sekolah Tinggi Ilmu Keguruan dan Ilmu Pendidikan (STKIP) Budidaya Binjai. Meskipun berbagai upaya dan kegiatan telah dilakukan, kawasan ini tetap mengalami banjir saat musim hujan. Oleh karena itu, diperlukan perhitungan atau analisis debit air pada setiap segmennya.

Salah satu wilayah yang terkena dampak adalah Jalan Gaharu Binjai, yang merupakan kawasan padat penduduk, tempat usaha, serta lokasi salah satu kampus terbesar di Binjai, yaitu Sekolah Tinggi Ilmu Keguruan dan Ilmu Pendidikan (STKIP) Budidaya Binjai. Rahim & Yudhastuti (2016) menekankan bahwa kawasan padat penduduk dengan sistem drainase yang tidak optimal cenderung menjadi daerah langganan banjir, terutama jika tidak ada tindakan pencegahan yang memadai. Berbagai upaya dan kegiatan telah dilakukan, namun kawasan ini tetap mengalami banjir saat musim hujan. Asmorowati, dkk. (2021) juga menyatakan bahwa strategi penanganan banjir harus mencakup analisis yang komprehensif terhadap kapasitas saluran drainase untuk mengidentifikasi dan mengatasi segmen-semen yang tidak mampu menampung debit air secara efektif.

Berdasarkan pengamatan lapangan, genangan dapat ditemukan di sekitar

STKIP Budidaya Binjai dengan panjang yang mencapai sekitar 300-400 meter. Genangan ini terjadi akibat melimpahnya air hujan dari drainase yang kemudian menggenang di sepanjang Jalan Gaharu. Kondisi ini berlangsung selama 5 hingga 6 jam, bahkan bisa berhari-hari saat musim penghujan tiba. Genangan tersebut tidak hanya mengganggu lalu lintas kendaraan dan merusak badan jalan, tetapi juga meningkatkan risiko penyebaran penyakit, menjadi sarang nyamuk, serta menyebabkan kerugian material bagi warga sekitar. Masalah ini menunjukkan bahwa banjir tidak hanya berdampak pada infrastruktur, tetapi juga pada kesehatan masyarakat, terutama melalui peningkatan risiko penyakit yang ditularkan melalui air.

Hatmoko,dkk. (2017) menambahkan bahwa banjir yang berkepanjangan dapat menyebabkan kerusakan struktural pada jalan raya, yang berakibat pada biaya perbaikan yang signifikan dan gangguan ekonomi lokal. Penelitian ini bertujuan untuk mengevaluasi kapasitas saluran drainase eksisting sehingga dapat ditemukan solusi untuk menangani masalah genangan di daerah ini. Evaluasi kinerja sistem drainase, seperti yang dilakukan oleh Ade putri & Prawati (2023), melibatkan perbandingan antara debit yang masuk dan kapasitas tampang saluran. Kurniawan, dkk. (2021) juga mengemukakan bahwa perencanaan drainase perkotaan perlu memperhatikan fungsi drainase perkotaan sebagai prasarana kota yang dilandaskan pada konsep pembangunan yang berwawasan lingkungan. Konsep ini mencakup usaha konservasi sumber daya air, di mana air hujan dikendalikan agar lebih banyak meresap ke dalam tanah dan tidak terbuang sebagai aliran permukaan, dengan cara membangun resapan buatan, kolam tendon, penataan lansekap, dan sengkedan.

Pemodelan sistem drainase dalam penelitian ini menggunakan *Environmental Protection Agency Storm Water Management Model* (EPA SWMM) 5.1 (Kartiko & Waspodo, 2018). EPA SWMM, yang juga dikenal sebagai Model Pengelolaan Air Hujan Badan Perlindungan Lingkungan, merupakan

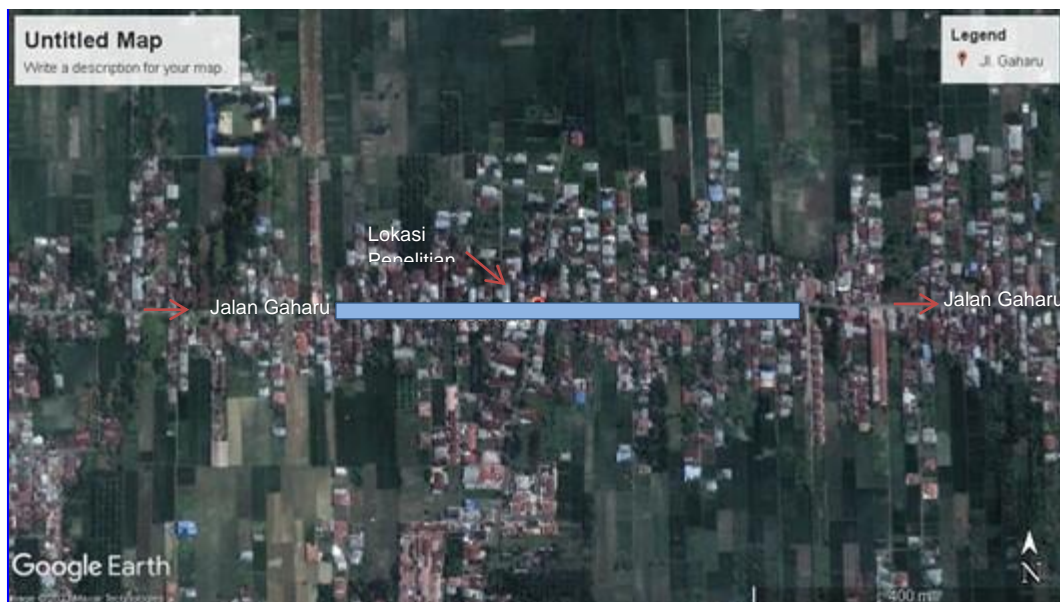
model simulasi dinamis yang sering digunakan untuk perencanaan, analisis, dan perancangan sistem terkait aliran air hujan dan drainase di kawasan perkotaan. Model ini memiliki fungsi untuk simulasi peristiwa hujan, baik yang bersifat tunggal maupun berkelanjutan dalam jangka waktu yang panjang, dengan fokus pada pengelolaan volume air yang mengalir dan kualitas air, terutama di lingkungan perkotaan. Kartiko & Waspodo (2018) menekankan bahwa model ini efektif dalam memberikan gambaran realistik tentang kapasitas drainase dan memungkinkan perencanaan yang lebih akurat dalam menangani masalah banjir di perkotaan. Hasil pemodelan SWMM diharapkan dapat digunakan untuk membuat konsep penanganan masalah banjir yang bisa diterapkan secara efektif dan efisien sesuai kondisi lapangan (Husein Ar-Rafi & Pamudjianto, 2023).

## 2. Metodologi

Metodologi yang digunakan dalam penelitian ini dirancang untuk mengevaluasi kapasitas saluran drainase di Jalan Gaharu, Binjai Utara, guna mengidentifikasi penyebab genangan dan merumuskan solusi yang tepat.

### 2.1. Lokasi Penelitian

Lokasi penelitian ini dilakukan di Jalan Gaharu, Kelurahan Jati Makmur, Kecamatan Binjai Utara, Kota Binjai, Provinsi Sumatera Utara, dengan koordinat  $3^{\circ}37'56,56''$  LU dan  $98^{\circ}30'0,21''$  BT (Gambar 1). Lokasi ini dapat dicapai dalam waktu sekitar 45 menit dari titik nol Kota Medan, dan sekitar 35 menit menggunakan Tol Binjai.



Gambar 1. Lokasi Penelitian.

### 2.2. Metode Pengumpulan Data

Proses pemecahan masalah pada jalan di lokasi studi memerlukan analisis yang akurat terhadap data yang dikumpulkan dari setiap parameter yang digunakan untuk mencari solusi. Penyajian data yang lengkap dan teori yang memadai akan menghasilkan perancangan yang baik. Penelitian ini menggunakan dua jenis data, yaitu data primer dan data sekunder. Data primer meliputi dimensi saluran drainase

eksisting dan arah aliran, yang diperoleh langsung melalui pengamatan di lapangan. Data ini digunakan untuk memahami kondisi sebenarnya di lokasi studi. Data sekunder berupa data curah hujan selama 10 tahun terakhir yang diperoleh dari Stasiun Klimatologi Sampali. Analisis drainase dilakukan dengan menggunakan aplikasi EPA SWMM 5.1 untuk pemodelan, guna mengevaluasi dan merancang solusi yang tepat untuk permasalahan genangan.

### 3. Hasil dan Pembahasan

Setelah menghitung analisa frekuensi dengan menggunakan curah hujan maksimum dari setiap metodenya, maka diperoleh hasil seperti terlihat pada Tabel 1. Berdasarkan Tabel 1 diperoleh nilai

rekapitulasi hasil perhitungan distribusi hujan dengan metode Gumbel, Log Normal, Log Pearson III, dan Normal pada setiap segmen salurannya, yang dimana setiap segmen harus dihitung waktu konsentrasi hujannya.

**Tabel 1. Rekapitulasi hasil perhitungan distribusi hujan dengan 4 metode.**

| No | Periode Ulang (T) | Metode Distribusi Hujan |            |                 |         |
|----|-------------------|-------------------------|------------|-----------------|---------|
|    |                   | Gumbel                  | Log Normal | Log Pearson III | Normal  |
| 1  | 2                 | 111,2329                | 111,4295   | 113,5837        | 115,7   |
| 2  | 5                 | 150,7423                | 142,263    | 142,8006        | 143,561 |
| 3  | 10                | 176,8834                | 161,6337   | 159,2597        | 158,121 |
| 4  | 25                | 209,9403                | 185,1936   | 177,5644        | 173,640 |
| 5  | 50                | 234,4269                | 202,2106   | 189,7073        | 183,666 |

#### 3.1. Analisa Debit Rencana

Berdasarkan perolehan hitungan sebelumnya, diperoleh persebaran yang akan dipergunakan yaitu distribusi Gumbel seperti terlihat pada Tabel 2. Tabel 3 memperlihatkan intensitas hujan kala ulang

2, 5, 10, dan 25 tahun pada setiap segmennya, di mana nilai yang dihitung mulai dari 2 tahun, 5 tahun, 10 tahun, dan 25 Tahun. Tabel 4 diperoleh nilai waktu konsentrasi hujan pada setiap segmen salurannya, dimana setiap segmen harus dihitung waktu konsentrasi hujannya.

**Tabel 2. Analisa curah hujan rencana dengan distribusi Gumbel.**

| No | Kala Ulang (T) | Reduced Variate (YT) | Reduced Mean (Yn) | Reduced Standar Deviation (Sn) | $\bar{X}$ | Simpangan Baku (S) | Faktor frekuensi Gumbel (k) | Hujan Rencana ( $X_T$ ) |
|----|----------------|----------------------|-------------------|--------------------------------|-----------|--------------------|-----------------------------|-------------------------|
| 1  | 2              | 0,3668               | 0,4952            | 0,9496                         | 115,7     | 33,09              | -0,135                      | 111,232                 |
| 2  | 5              | 1,5004               | 0,4952            | 0,9496                         | 115,7     | 33,09              | 1,059                       | 150,742                 |
| 3  | 10             | 2,2510               | 0,4952            | 0,9496                         | 115,7     | 33,09              | 1,849                       | 176,883                 |
| 4  | 25             | 3,1993               | 0,4952            | 0,9496                         | 115,7     | 33,09              | 2,848                       | 209,940                 |
| 5  | 50             | 3,9028               | 0,4952            | 0,9496                         | 115,7     | 33,09              | 3,588                       | 234,426                 |

**Tabel 3. Intensitas hujan kala ulang 2, 5, 15, 25 dan 50 tahun.**

| No | T<br>(Jam) | T<br>(Menit) | R2        | R5        | R10         | R25      | R50      |
|----|------------|--------------|-----------|-----------|-------------|----------|----------|
| 1  | 5          | 0,083        | 202,664   | 274,649   | 322,278     | 382,507  | 427,121  |
| 2  | 10         | 0,167        | 127,160   | 172,327   | 202,211     | 240,001  | 267,994  |
| 3  | 20         | 0,333        | 80,266    | 108,776   | 127,640     | 151,494  | 169,163  |
| 4  | 30         | 0,5          | 61,2137   | 82,956    | 97,342      | 115,534  | 129,010  |
| 5  | 40         | 0,667        | 50,514    | 68,456    | 80,327      | 95,339   | 106,46   |
| 6  | 50         | 0,833        | 43,557    | 59,029    | 69,265      | 82,210   | 91,799   |
| 7  | 60         | 1.000        | 0,385     | 0,522     | 0,613       | 0,727    | 0,812    |
| 8  | 70         | 1            | 34,789    | 47,146    | 55,322      | 65,661   | 73,320   |
| 9  | 80         | 1,333        | 31,837    | 43,146    | 50,628      | 60,09    | 67,099   |
| 10 | 90         | 1,500        | 29,428    | 39,881    | 46,797      | 55,543   | 62,021   |
| 11 | 100        | 1,667        | 27,428    | 37,171    | 43,617      | 51,768   | 57,806   |
| 12 | 110        | 1,833        | 25,746    | 34,891    | 40,942      | 48,594   | 54,261   |
| 13 | 120        | 2,000        | 24,292    | 32,921    | 38,630      | 45,849   | 51,197   |
| 14 | 130        | 2,167        | 23,028    | 31,207    | 36,619      | 43,462   | 48,532   |
| 15 | 140        | 2,333        | 21,922302 | 29,709015 | 34,86102848 | 41,37604 | 46,20198 |
| 16 | 150        | 2,500        | 20,934824 | 28,370789 | 33,29073234 | 39,51228 | 44,12084 |
| 17 | 160        | 2,667        | 20,05152  | 27,17374  | 31,88609564 | 37,84514 | 42,25924 |
| 18 | 170        | 2,833        | 19,260384 | 26,101594 | 30,62802351 | 36,35195 | 40,5919  |
| 19 | 180        | 3,000        | 18,538808 | 25,123718 | 29,48056833 | 34,99005 | 39,07115 |
| 20 | 240        | 4,000        | 15,303449 | 20,739173 | 24,33567297 | 28,88365 | 32,25253 |
| 21 | 300        | 5,000        | 13,188113 | 17,872477 | 20,97184722 | 24,89118 | 27,79438 |
| 22 | 360        | 6,000        | 11,678717 | 15,826951 | 18,5715943  | 22,04235 | 24,61328 |

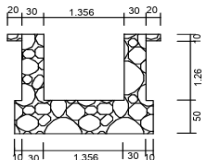
**Tabel 4. Waktu konsentrasi hujan.**

| Saluran  | L   | Ls  | n     | s  | v    | t <sub>o</sub> | t <sub>d</sub> | T <sub>c</sub> (menit) |
|----------|-----|-----|-------|----|------|----------------|----------------|------------------------|
| Segmen 1 | 205 | 460 | 0,013 | 3% | 1,5  | 1,798852       | 5,111111       | 6,909963               |
| Segmen 2 | 182 | 565 | 0,013 | 3% | 1,42 | 1,763456       | 6,631455       | 8,394911               |
| Segmen 3 | 198 | 460 | 0,013 | 3% | 1,38 | 1,788445       | 5,555556       | 7,344001               |
| Segmen 4 | 238 | 455 | 0,013 | 3% | 1,24 | 1,844255       | 6,115591       | 7,959846               |
| Segmen 5 | 202 | 401 | 0,013 | 3% | 1,5  | 1,794429       | 4,455556       | 6,249985               |
| Segmen 6 | 185 | 495 | 0,013 | 3% | 1,21 | 1,768277       | 6,818182       | 8,586459               |
| Segmen 7 | 198 | 487 | 0,013 | 3% | 1,21 | 1,788445       | 6,707989       | 8,496434               |
| Segmen 8 | 238 | 396 | 0,013 | 3% | 1,21 | 1,844255       | 5,454545       | 7,2988                 |

### 3.2. Perhitungan Kapasitas Saluran Drainase Eksisting

Berdasarkan data yang di peroleh saat survei di lapangan, diperoleh data saluran drainase pada kawasan tersebut sebagai berikut:

Segmen 1



Luas penampang saluran persegi dapat dihitung:

$$A = B \times h$$

$$= 1,2 \times 1$$

$$= 1,2 \text{ m}^2$$

Keliling basah saluran bentuk persegi dapat dihitung:

$$P = B + 2h$$

$$= 1,2 + (2 \times 1) = 3,2 \text{ m}$$

Maka didapat jari jari hidrolis (R) dengan rumus:

$$R = \frac{A}{P} = \frac{1,2}{3,2} = 0,375$$

Berikut persamaan untuk menghitung laju aliran bagian dalam saluran (V):

$$\begin{aligned} V &= \frac{1}{0,013} \cdot R^2 \cdot S^{\frac{1}{2}} \\ &= \frac{1}{0,013} \cdot 0,375^2 \cdot 0,002^{\frac{1}{2}} \\ &= 1,79 \text{ m/detik} \end{aligned}$$

Maka debit saluran yang ada di segmen 1:

$$Q = V \cdot A$$

$$= 1,5 \cdot 0,7 = 2,146 \text{ m}^3/\text{detik}$$

Berdasarkan perolehan perhitungan kapasitas saluran drainase eksisting tersebut, diperoleh penjabaran nilai setiap segmennya seperti terlihat pada Tabel 5. Pada Table 6 meperlihatkan hasil rekap drainase eksisting pada setiap segmennya. Tabel 6 meperlihatkan Intensitas hujan pada tiap periode ulang pada setiap segmennya, di mana nilai yang dihitung mulai dari 2 tahun, 5 tahun, 10 tahun, 12 tahun, dan 50 tahun. Tabel 7 memperlihatkan debit rencana banjir pada tiap periode ulang pada setiap segmennya. Tabel 8 meperlihatkan debit curah hujan rencana pada setiap segmennya, di mana nilai yang dihitung mulai dari 2 tahun, 5 tahun, dan 10 tahun.

Tabel 5. Rekap drainase eksisting.

|          | <b>b</b> | <b>h</b> | <b>A</b> | <b>P</b> | <b>R</b> | <b>V</b> | <b>Q</b> |
|----------|----------|----------|----------|----------|----------|----------|----------|
| segmen 1 | 1,2      | 1        | 1,2      | 3,2      | 0,37500  | 1,788926 | 2,146712 |
| segmen2  | 1        | 1        | 1        | 3        | 0,33333  | 1,653830 | 1,65383  |
| segmen 3 | 1,1      | 0,9      | 0,99     | 2,9      | 0,34138  | 1,680337 | 1,663534 |
| segmen 4 | 1,2      | 1        | 1,2      | 3,2      | 0,37500  | 1,788926 | 2,146712 |
| segmen 5 | 1,2      | 1        | 1,2      | 3,2      | 0,37500  | 1,788926 | 2,146712 |
| segmen 6 | 0,9      | 1        | 0,9      | 2,9      | 0,31034  | 1,576890 | 1,419201 |
| segmen 7 | 1        | 1        | 1        | 3        | 0,33333  | 1,653830 | 1,65383  |
| segmen 8 | 1,2      | 1        | 1,2      | 3,2      | 0,37500  | 1,788926 | 2,146712 |

**Tabel 6. Intensitas hujan pada tiap periode ulang.**

| $T_c$ (dtk) | <i>I</i>  | <i>I</i>  | <i>I</i>   | <i>I</i>   | <i>I</i>   |
|-------------|-----------|-----------|------------|------------|------------|
|             | (2 tahun) | (5 tahun) | (10 tahun) | (25 tahun) | (50 tahun) |
| Segmen 1    | 0,101     | 177,329   | 240,316    | 281,991    | 334,691    |
| Segmen 2    | 0,124     | 154,837   | 209,834    | 246,223    | 292,239    |
| Segmen 3    | 0,105     | 172,332   | 233,544    | 274,045    | 325,26     |
| Segmen 4    | 0,101     | 177,352   | 240,347    | 282,028    | 334,734    |
| Segmen 5    | 0,092     | 188,985   | 256,111    | 300,525    | 356,689    |
| Segmen 6    | 0,116     | 161,508   | 218,875    | 256,831    | 304,829    |
| Segmen 7    | 0,111     | 166,357   | 225,447    | 264,543    | 313,982    |
| Segmen 8    | 0,092     | 188,911   | 256,011    | 300,408    | 356,55     |

**Tabel 7. Debit rencana banjir pada tiap periode ulang.**

| <b>A</b> | <b>C<sub>s</sub></b> | <b>C</b> | <b>Q<sub>2</sub></b> | <b>Q<sub>5</sub></b> | <b>Q<sub>10</sub></b> | <b>Q<sub>25</sub></b> | <b>Q<sub>50</sub></b> |
|----------|----------------------|----------|----------------------|----------------------|-----------------------|-----------------------|-----------------------|
| 0,07     | 0,739548             | 0,7      | 1,786442             | 2,420978             | 2,840813              | 3,37172               | 3,764984              |
| 0,05     | 0,723713             | 0,7      | 1,090322             | 1,477599             | 1,733838              | 1,909819              | 2,297888              |
| 0,04     | 0,735727             | 0,7      | 0,986932             | 1,337486             | 1,569427              | 1,728721              | 2,079991              |
| 0,05     | 0,741611             | 0,7      | 1,279754             | 1,734317             | 2,035074              | 2,24163               | 2,697122              |
| 0,09     | 0,747515             | 0,7      | 2,474187             | 3,353006             | 3,93447               | 4,33381               | 5,214427              |
| 0,094    | 0,727963             | 0,7      | 2,150673             | 2,914582             | 3,420016              | 3,767141              | 4,532612              |
| 0,095    | 0,731818             | 0,7      | 2,250674             | 3,050102             | 3,579039              | 3,942303              | 4,743367              |
| 0,0945   | 0,749986             | 0,7      | 2,605464             | 3,530912             | 4,143229              | 4,563757              | 5,491099              |

**Tabel 8. Debit curah hujan rencana.**

| <b>Saluran</b> | <b>Q<sub>s</sub></b> | <b>2 tahun</b> |              | <b>5 tahun</b> |              | <b>10 tahun</b> |              |
|----------------|----------------------|----------------|--------------|----------------|--------------|-----------------|--------------|
|                |                      | <b>Q</b>       | <b>Hasil</b> | <b>Q</b>       | <b>Hasil</b> | <b>Q</b>        | <b>Hasil</b> |
| segmen 1       | 2,146712             | 1,786442       | Ok           | 2,42098        | Banjir       | 2,840813        | Banjir       |
| segmen2        | 1,65383              | 1,090322       | Ok           | 1,4776         | Ok           | 1,733838        | Banjir       |
| segmen 3       | 1,663534             | 0,986932       | Ok           | 1,33749        | Ok           | 1,569427        | Ok           |
| segmen 4       | 2,146712             | 1,279754       | Ok           | 1,73432        | Ok           | 2,035074        | Ok           |
| segmen 5       | 2,146712             | 2,474187       | Banjir       | 3,35301        | Banjir       | 3,93447         | Banjir       |
| segmen 6       | 1,419201             | 2,150673       | Banjir       | 2,91458        | Banjir       | 3,420016        | Banjir       |
| segmen 7       | 1,65383              | 2,250674       | Banjir       | 3,0501         | Banjir       | 3,579039        | Banjir       |
| segmen 8       | 2,146712             | 2,605464       | Banjir       | 3,53091        | Banjir       | 4,143229        | Banjir       |

Menurut hasil perhitungan daya tampung debit saluran yang sudah ada dengan debit puncak banjir, dapat diketahui bahwa segmen 5, 6, 7, 8 tidak dapat menampung debit puncak banjir sehingga air akan

meluap dan membanjiri jalan raya. Oleh sebab itu, diperlukan adanya perencanaan desain ulang drainase pada segmen tersebut.

### 3.3. Perencanaan Desain Ulang Drainase Eksiting

Perencanaan menggunakan bentuk penampang yang ekonomis dengan mempertahankan bentuk sebelumnya. Namun, dimensi saluran diperbesar di beberapa segmen. Berikut adalah perhitungan rancangan ulang saluran drainase:

Segmen 1

$$Q = 2,42 \text{ m}^3/\text{detik}$$

$$S = 0,002$$

$$Q = A \cdot V$$

$$Q = \frac{1}{n} \cdot R_3^2 \cdot s_2^1 \cdot A$$

$$2,42 = \frac{1}{0,013} \cdot \frac{h_3^2}{2} \cdot 0,002^{1/2} \cdot 2h^2$$

$$h^{2/3} = \frac{2,42 \cdot 0,013 \cdot 2}{0,002 \cdot 2}$$

$$h = 0,678\text{m}$$

Lebar saluran:

$$B = 2h$$

$$B = 2 \cdot 0,678$$

$$= 1,356\text{ m}$$

Tinggi jagaan:

$$Fr = \sqrt{0,5 \cdot h}$$

$$= \sqrt{0,5 \cdot 0,678}$$

$$= 0,582$$

Sehingga total tinggi perencanaan saluran adalah sebesar:

$$\begin{aligned} hr &= h + Fr \\ &= 0,588 + 0,5283 \\ &= 1,26\text{ m} \end{aligned}$$

Berdasarkan hasil perhitungan diatas maka didapatkan rencana perbaikan drainase sebesar:

$$\text{Kedalaman saluran (}h\text{)} = 1,3\text{ m}$$

$$\text{Lebar saluran (}B\text{)} = 1,4\text{ m}$$

Cek kecepatan maksimum aliran:

$$\begin{aligned} V &= \frac{Q}{A} \\ &= \frac{2,42}{1,1 \cdot 1,2} = 1,99\text{ m/s} \end{aligned}$$

Untuk segmen-segmen lainnya, dapat dilihat pada Tabel 9. Tabel 9 menunjukkan perhitungan ulang saluran drainase untuk setiap segmen, termasuk nilai-nilai seperti  $Q$ ,  $s$ ,  $n$ ,  $h^{2/3}$ ,  $h$ ,  $b$ ,  $fr$ ,  $hr$ , dan  $v$ . Tabel 10 memperlihatkan potongan gambar perhitungan ulang dimensi saluran drainase eksiting.

**Tabel 9. Perhitungan Ulang Saluran Drainase.**

| Segmen | Q     | s     | n     | $h^{2/3}$ | h     | b     | fr    | hr    | v     |
|--------|-------|-------|-------|-----------|-------|-------|-------|-------|-------|
| 1      | 2,42  | 0,002 | 0,013 | 0,558     | 0,678 | 1,356 | 0,582 | 1,26  | 1,415 |
| 5      | 3,353 | 0,002 | 0,013 | 0,773     | 0,842 | 1,685 | 0,649 | 1,491 | 1,333 |
| 6      | 2,914 | 0,002 | 0,013 | 0,672     | 0,767 | 1,535 | 0,619 | 1,387 | 1,368 |
| 7      | 3,05  | 0,002 | 0,013 | 0,703     | 0,791 | 1,582 | 0,628 | 1,420 | 1,357 |
| 8      | 3,53  | 0,002 | 0,013 | 0,814     | 0,872 | 1,744 | 0,660 | 1,532 | 1,320 |

**Tabel 10. Gambar segmen dimensi saluran drainase.**

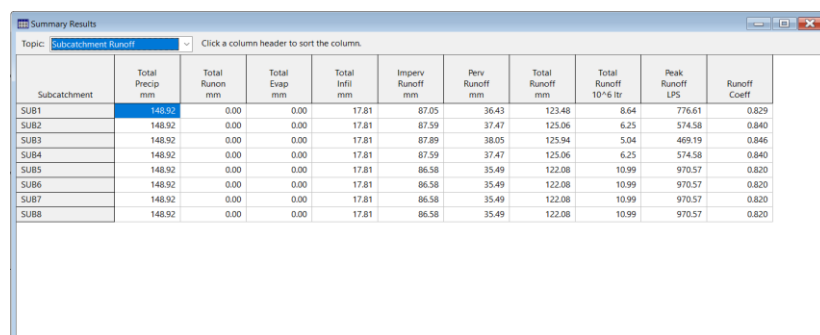
| <b>Segmen</b> | <b>Gambar segmen</b> |
|---------------|----------------------|
| Segmen 1      |                      |
| Segmen 5      |                      |
| Segmen 6      |                      |
| Segmen 7      |                      |
| Segmen 8      |                      |

### 3.4. Hasil Simulasi SWMM Perencanaan Ulang Saluran Drainase

Summary result menampilkan informasi hasil dari simulasi yaitu:

1. Pada halaman Sub-catchment Runoff terlihat bahwa dari total

hujan sebesar 148,92 mm selama 6 jam, tidak semua hujan tersebut menjadi limpasan permukaan (Gambar 2). Sebagian hujan hilang sebagai infiltrasi yang besarnya tergantung dari limpasan (*runoff coefficient*) merupakan rasio antara *runoff* dan *precipitation*.

**Gambar 2. Jendela Summary Results**

2. Pada halaman Node Depth dapat diamati bahwa kedalaman air maksimum (*maximum depth*) di beberapa junction tidak ada yang

melampaui kedalaman maksimum 1,6 m (Gambar 3). Sebagai contoh, kedalaman air di node J1 sudah tidak mengalami banjir.

| Summary Results   |          |                      |                      |                    |                      |                       |                               |
|-------------------|----------|----------------------|----------------------|--------------------|----------------------|-----------------------|-------------------------------|
| Topic: Node Depth |          |                      |                      |                    |                      |                       |                               |
| Node              | Type     | Average Depth Meters | Maximum Depth Meters | Maximum HGL Meters | Day of Maximum Depth | Hour of Maximum Depth | Maximum Reported Depth Meters |
| JUNC1             | JUNCTION | 0.42                 | 0.72                 | 2.72               | 0                    | 02:00                 | 0.72                          |
| JUNC2             | JUNCTION | 0.35                 | 0.61                 | 2.11               | 0                    | 02:01                 | 0.61                          |
| JUNC3             | JUNCTION | 0.45                 | 0.82                 | 1.82               | 0                    | 02:01                 | 0.81                          |
| JUNC4             | JUNCTION | 0.57                 | 1.00                 | 1.50               | 0                    | 01:59                 | 1.00                          |
| JUNC5             | JUNCTION | 0.81                 | 1.06                 | 3.06               | 0                    | 01:15                 | 1.05                          |
| JUNC6             | JUNCTION | 1.21                 | 1.50                 | 3.00               | 0                    | 01:14                 | 1.50                          |
| JUNC7             | JUNCTION | 0.29                 | 0.50                 | 1.50               | 0                    | 02:00                 | 0.50                          |
| JUNC8             | JUNCTION | 0.51                 | 0.87                 | 1.37               | 0                    | 02:01                 | 0.87                          |
| OUT1              | OUTFALL  | 0.49                 | 0.82                 | 0.82               | 0                    | 02:02                 | 0.82                          |
| OUT2              | OUTFALL  | 0.44                 | 0.73                 | 0.73               | 0                    | 02:01                 | 0.73                          |

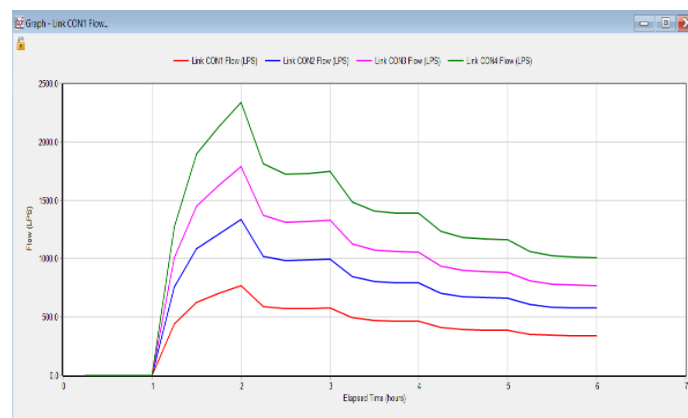
Gambar 3. Rangkuman hasil simulasi untuk kedalaman air pada drainase

3. Pada halaman *Link Flow* dapat diketahui besaran debit dan kecepatan aliran disetiap saluran (Gambar 4). Nilai rasio kapasitas saluran terhadap debit maksimum (*max/full flow*) pada beberapa saluran telah melebihi nilai 1,60.

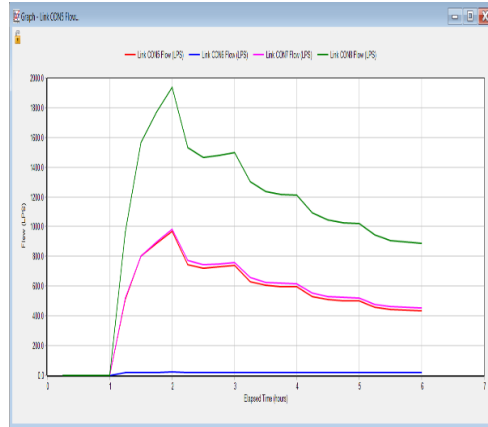
| Summary Results  |         |                    |                     |                      |                          |                 |                  |
|------------------|---------|--------------------|---------------------|----------------------|--------------------------|-----------------|------------------|
| Topic: Link Flow |         |                    |                     |                      |                          |                 |                  |
| Link             | Type    | Maximum [Flow] LPS | Day of Maximum Flow | Hour of Maximum Flow | Maximum [Velocity] m/sec | Max / Full Flow | Max / Full Depth |
| CON2             | CONDUIT | 1340.10            | 0                   | 02:01                | 1.88                     | 0.53            | 0.72             |
| CON3             | CONDUIT | 1800.95            | 0                   | 02:01                | 1.98                     | 0.75            | 0.91             |
| CON5             | CONDUIT | 972.08             | 0                   | 02:00                | 0.84                     | 0.25            | 0.85             |
| CON6             | CONDUIT | 21.58              | 0                   | 02:00                | 0.08                     | 1.21            | 0.75             |
| CON7             | CONDUIT | 987.66             | 0                   | 02:01                | 1.44                     | 0.25            | 0.46             |
| CON4             | CONDUIT | 2340.39            | 0                   | 02:02                | 2.57                     | 1.06            | 0.91             |
| CON8             | CONDUIT | 1949.37            | 0                   | 02:01                | 2.44                     | 0.51            | 0.50             |
| CON1             | CONDUIT | 772.74             | 0                   | 02:00                | 1.16                     | 0.47            | 0.51             |

Gambar 4. Rangkuman hasil simulasi untuk aliran di saluran.

4. Penggunaan grafik sangat mempermudah pengguna untuk mengetahui hasil simulasi dari satu atau lebih objek secara keseluruhan selama periode simulasi. Grafik hasil simulasi SWMM dapat dilihat pada Gambar 5. Gambar 5 memperlihatkan debit terbesar terjadi pada jam ke 2 pada seluruh conduit (segmen) dan yang terbesar adalah conduit 4 (segmen4) dan berangsurg normal setelah jam ke 2 sampai jam ke 6. Gambar 6 memperlihatkan debit terbesar terjadi pada jam ke 2 pada seluruh conduit (segmen) dan yang terbesar adalah conduit 8 (segmen 8) dan berangsurg normal setelah jam ke 2 sampai jam ke 6.



Gambar 5. Grafik aliran pada saluran CON1, CON2, CON3 dan CON4

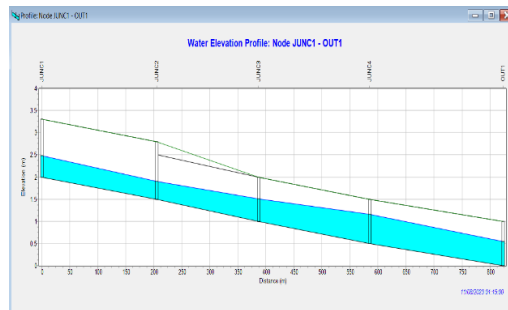


**Gambar 6. Grafik aliran pada saluran CON5, CON6, CON7,dan CON8.**

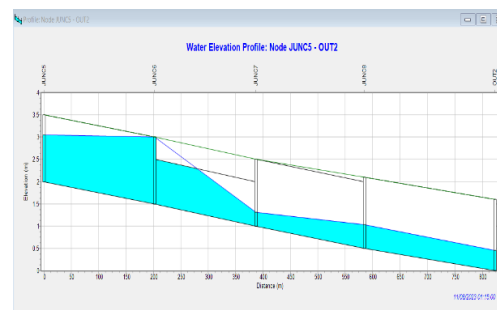
### 3.5. Hasil Simulasi Aliran

Perolehan simulasi khususnya pada saluran dapat diperlihatkan berupa profil aliran (*profil plot*) yang memaparkan keadaan laju alir pada penampang saluran sebagaimana dapat dilihat pada Gambar 7 dan Gambar 8. Gambar 9 dan Gambar 10 memperlihatkan bahwa saat terjadi hujan pada tenggang waktu 1 jam maupun pada tenggang waktu 2 jam setelah dilakukan perencanaan ulang, saluran tidak

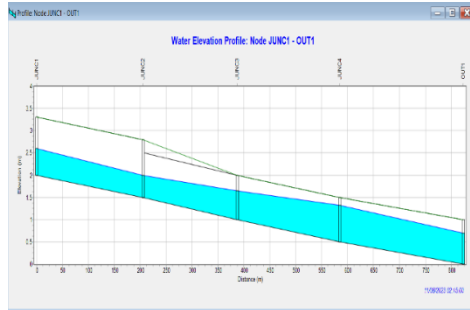
mengalami genangan dan profil aliran mengalami naik turun dan berbeda pada setiap hasil simulasi juga dapat ditampilkan menggunakan tabel jenis laporan. Tabel 11 menampilkan beberapa objek dengan variabel yang sama. Berdasarkan Tabel 11 terlihat bahwa *link flow* terbesar terjadi pada *conduit* 4 dengan besaran 2338,4 pada jam ke 2 dan yang terkecil terjadi pada *conduit* 6 dengan besaran 18,93 pada jam ke 06:00.



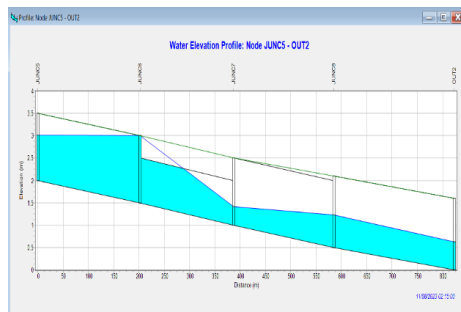
**Gambar 7. Profil aliran dari JUN1, JUNC2, JUNC3, JUNC4, dan OUT1pada selang waktu 1 jam 15 menit (air tidak mengalami peluapan)**



**Gambar 8. Profil aliran dari JUN5, JUNC6, JUNC7, JUNC8, dan OUT2pada selang waktu 1 jam 15 menit (air tidak mengalami peluapan)**



**Gambar 9. Profil aliran dari JUN1, JUNC2, JUNC3, JUNC4, dan OUT2 pada selang waktu 2 jam 15 menit (air tidak mengalami peluapan)**



**Gambar 10. Profil aliran dari JUN5, JUNC6, JUNC7, JUNC8, dan OUT2 pada selang waktu 2 jam 15 menit (air tidak mengalami peluapan)**

**Tabel 11. Link flow EPA SWMM 5.1. dalam bentuk tabel.**

| Elapsed Days | Elapsed Hours | Link CON1 | Link CON2 | Link CON3 | Link CON4 | Link CON5 | Link CON6 | Link CON7 | Link CON8 |
|--------------|---------------|-----------|-----------|-----------|-----------|-----------|-----------|-----------|-----------|
| 0            | 00:15:00      | 0.00      | 0.00      | 0.00      | 0.00      | 0.00      | 0.00      | 0.00      | 0.00      |
| 0            | 00:30:00      | 0.00      | 0.00      | 0.00      | 0.00      | 0.00      | 0.00      | 0.00      | 0.00      |
| 0            | 00:45:00      | 0.00      | 0.00      | 0.00      | 0.00      | 0.00      | 0.00      | 0.00      | 0.00      |
| 0            | 01:00:00      | 0.00      | 0.00      | 0.00      | 0.00      | 0.00      | 0.00      | 0.00      | 0.00      |
| 0            | 01:15:00      | 439.80    | 759.77    | 1005.39   | 1272.91   | 509.59    | 19.38     | 520.06    | 965.72    |
| 0            | 01:30:00      | 627.73    | 1084.05   | 1449.34   | 1895.64   | 799.92    | 20.76     | 799.73    | 1566.12   |
| 0            | 01:45:00      | 701.86    | 1213.58   | 1626.89   | 2131.10   | 885.55    | 21.21     | 899.60    | 1770.10   |
| 0            | 02:00:00      | 770.25    | 1333.60   | 1788.52   | 2338.43   | 968.69    | 21.57     | 983.49    | 1938.08   |
| 0            | 02:15:00      | 590.53    | 1022.28   | 1374.33   | 1815.42   | 742.30    | 20.61     | 772.78    | 1532.80   |
| 0            | 02:30:00      | 570.01    | 982.36    | 1313.93   | 1726.77   | 721.92    | 20.48     | 743.44    | 1466.48   |
| 0            | 02:45:00      | 574.30    | 988.00    | 1319.67   | 1732.89   | 730.42    | 20.51     | 750.02    | 1478.53   |
| 0            | 03:00:00      | 581.12    | 998.56    | 1332.87   | 1749.71   | 741.20    | 20.56     | 760.80    | 1500.01   |
| 0            | 03:15:00      | 493.41    | 846.25    | 1129.50   | 1488.46   | 631.60    | 20.05     | 658.05    | 1301.73   |
| 0            | 03:30:00      | 470.73    | 805.92    | 1073.63   | 1410.06   | 605.15    | 19.89     | 627.05    | 1235.80   |
| 0            | 03:45:00      | 464.74    | 795.86    | 1060.32   | 1391.74   | 598.01    | 19.85     | 618.37    | 1217.35   |
| 0            | 04:00:00      | 463.16    | 793.41    | 1057.33   | 1387.58   | 595.89    | 19.84     | 615.87    | 1212.02   |
| 0            | 04:15:00      | 411.80    | 704.90    | 939.66    | 1236.94   | 530.41    | 19.50     | 554.30    | 1093.05   |
| 0            | 04:30:00      | 395.62    | 676.65    | 900.99    | 1183.03   | 510.60    | 19.38     | 531.66    | 1045.27   |
| 0            | 04:45:00      | 390.28    | 667.90    | 889.58    | 1167.52   | 503.56    | 19.33     | 523.46    | 1028.12   |
| 0            | 05:00:00      | 388.21    | 664.71    | 885.63    | 1162.21   | 500.42    | 19.32     | 520.00    | 1020.93   |
| 0            | 05:15:00      | 354.82    | 607.30    | 809.44    | 1064.96   | 457.50    | 19.08     | 479.70    | 943.15    |
| 0            | 05:30:00      | 343.18    | 587.02    | 781.71    | 1026.35   | 443.09    | 18.99     | 463.37    | 908.80    |
| 0            | 05:45:00      | 338.99    | 580.17    | 772.78    | 1014.24   | 437.50    | 18.95     | 456.92    | 895.34    |
| 0            | 06:00:00      | 337.21    | 577.38    | 769.29    | 1009.57   | 434.77    | 18.93     | 453.95    | 889.18    |

→ link  
→ link

#### 4. Kesimpulan

Beberapa segmen pada sistem drainase di Jalan Gaharu, Kota Binjai, mengalami peluapan saat terjadi hujan. Segmen-segmen yang tidak dapat menampung debit yang direncanakan dan menyebabkan genangan air adalah Segmen 1, Segmen 5, Segmen 6, Segmen 7, dan Segmen 8. Berdasarkan penelitian dan simulasi menggunakan model EPA SWMM dengan waktu intensitas hujan selama 6 jam, solusi yang

direkomendasikan adalah sebagai berikut: Untuk Segmen 1, perluasan drainase dengan dimensi baru adalah lebar ( $b$ ) = 1,35 m dan tinggi ( $h$ ) = 1,26 m. Untuk Segmen 5, dimensi baru adalah lebar ( $b$ ) = 1,68 m dan tinggi ( $h$ ) = 1,49 m. Untuk Segmen 6, dimensi baru yang direkomendasikan adalah lebar ( $b$ ) = 1,53 m dan tinggi ( $h$ ) = 1,38 m. Untuk Segmen 7, perluasan drainase dengan dimensi baru adalah lebar ( $b$ ) = 1,58 m dan tinggi ( $h$ ) = 1,42 m. Sedangkan untuk Segmen 8, dimensi baru adalah lebar ( $b$ ) = 1,74 m dan

tinggi ( $h$ ) = 1,53 m. Oleh karena itu, perencanaan drainase harus direvisi untuk menambahkan lebar dan tinggi pada setiap segmen tersebut agar dapat menampung debit air yang direncanakan secara efektif.

### Konflik Kepentingan

Penulis menyatakan tidak ada konflik kepentingan.

### Daftar Pustaka

- Ade putri, D. M., & Prawati, E. (2023). Evaluasi Sistem Drainase. *JUMATISI: Jurnal Mahasiswa Teknik Sipil*, 4(1), 262–265.  
<https://doi.org/10.24127/jumatisi.v4i1.4018>
- Asmorowati, E. T., Rahmawati, A., Sarasanty, D., Kurniawan, A. A., Rudiyanto, M. A., Nadya, E., Nugroho, M. W., & Findia. (2021). Drainase Perkotaan. In *Perkumpulan Rumah Cemerlang Indonesia*.
- Hatmoko, J. U. D., Setiadji, B. H., & Wibowo, M. A. (2017). Evaluasi Pengaruh Banjir, Beban Berlebih dan Mutu Konstruksi pada Kondisi Jalan. *Jurnal Transportasi*, 17(2), 89–98.
- Husein Ar-Rafi, M., & Pamudjianto, A. (2023). Studi Evaluasi Sistem Drainase Di Kawasan Komplek Harapan Indah Kota Sorong Dengan Menggunakan Software EPA-SWMM 5.1. 13–21.
- Kartiko, L., & Waspodo, R. S. B. (2018). Analisis Kapasitas Saluran Drainase Menggunakan Program SWMM 5.1 di Perumahan Tasmania Bogor, Jawa Barat. *Jurnal Teknik Sipil Dan Lingkungan*, 3(3), 133–148.  
<https://doi.org/10.29244/jsil.3.3.133-148>
- Kurniawan, H., Ardi, N. K., & Anwar, C. (2021). Analisis Faktor Penyebab Genangan Banjir Pada Badan Jalan (Studi Kasus : Simpang Raya Indah, Jalan Jendral Sudirman, Muka Kuning, Sei Beduk Batam). *Sigma Teknika*, 4(1), 70–80.  
<https://doi.org/10.33373/sigmateknika.v4i1.3224>
- Rahim, A., & Yudhastuti, R. (2016). Mapping And Analysis of Environmental Risk Factors Leptospirosis Incidence Based Geographic Information System (GIS) In Sampang Regency. *Jurnal Kesehatan Lingkungan*, 8(1), 48.  
<https://doi.org/10.20473/jkl.v8i1.2015.48-56>
- Rifky, A., & Anugrah, S. (2020). Jurnal Ilmu Administrasi Publik Analisis Peran Pemerintah dalam Penanganan Banjir di Kota Pontianak: Implementasi Kebijakan dan Koordinasi Lintas Sektor. *PUBLIKAUMA: Jurnal Ilmu Administrasi Publik UMA*, 8(1), 163–171.  
[http://ojs.uma.ac.id/index.php/publika\\_uma](http://ojs.uma.ac.id/index.php/publika_uma)
- Sidabutar, Y. F. ., & Indera, E. (2021). Kajian Potensi Perencanaan Wilayah Kota Binjai Sumatera Utara. *Jurnal Potensi*, 1(1), 36–49.  
<https://doi.org/10.37776/jpot.v1i1.656>
- Silaban, E. R., & Nusa, A. B. (2023). Evaluasi Kapasitas Saluran Drainase pada Jl. Asrama Sei Kambing C-II Kota Medan. *SMART: Jurnal Teknik Sipil, Manajemen Konstruksi, Dan Arsitektur*, 1(1), 9.  
<https://doi.org/10.24114/smart.v1i1.50235>